

Sector models—A toolkit for teaching general relativity: III. Spacetime geodesics

U Kraus and C Zahn

Institut für Physik, Universität Hildesheim, Universitätsplatz 1, 31141 Hildesheim, Germany

E-mail: ute.kraus@uni-hildesheim.de, corvin.zahn@uni-hildesheim.de

Abstract.

Sector models permit a model-based approach to the general theory of relativity. The approach has its focus on the geometric concepts and uses no more than elementary mathematics. This contribution shows how to construct the paths of light and free particles on a spacetime sector model. Radial paths close to a black hole are used by way of example. We outline two workshops on gravitational redshift and on vertical free fall, respectively, that we teach for undergraduate students. The workshop on redshift does not require knowledge of special relativity; the workshop on particles in free fall presumes familiarity with the Lorentz transformation. The contribution also describes a simplified calculation of the spacetime sector model that students can carry out on their own if they are familiar with the Minkowski metric. The teaching materials presented in this paper are available online for teaching purposes at www.spacetimetravel.org.

Keywords: general relativity, geodesics, gravitational redshift, black hole, sector models

1. Introduction

In view of the goal of teaching introductory general relativity without going beyond elementary mathematics, we are developing an approach based on a particular class of physical models, so-called sector models. The approach relies on the fact that general relativity is a geometric theory and is therefore accessible to intuitive geometric understanding. In the first part of this series, we have developed sector models as physical models of curved spaces and spacetimes (Zahn and Kraus 2014, in the following referred to as paper I). Sector models implement the description of curved spacetimes used in the Regge calculus (Regge 1961) by way of physical models. Sector models can be two-dimensional (e.g. a symmetry plane of a spherically symmetric star), three-dimensional (e.g. the three-dimensional curved space in the exterior region of a black hole), or 1+1-dimensional (i.e. a spacetime with two spatial dimensions suppressed, similar to the Minkowski diagrams of special relativity). Figure 1 illustrates the basic principle using a sphere by way of example: The curved surface is subdivided into small elements of area, in this case quadrilaterals (figure 1(a)). The edge lengths are determined for each quadrilateral. Quadrilaterals in the plane are constructed with the same edge lengths (figure 1(b)). These are the sectors that make up the sector model. The sector model is an approximation to the curved surface, its accuracy being determined by the resolution of the subdivision. For pedagogical purposes, a relatively coarse resolution is useful. Using sector models, the geometry of the respective space or spacetime can be studied with graphical methods. This includes the construction of geodesics as described in the second paper of this series (Zahn and Kraus 2018, in the following referred to as paper II). The construction implements the determination of geodesics according to the Regge calculus (Williams and Ellis 1981). The basic principle is illustrated in figure 1(c). Based on the definition of a geodesic as a locally straight line, the geodesic is drawn using pencil and ruler: Inside a sector, a sector being a flat element of area, a geodesic is a straight line. When the line reaches the border of the sector, the neighbouring sector is joined and the line is continued straight across the border. Sector models are computed true to scale, therefore, the properties read off from them are quantitatively correct, within the discretization error. The accuracy achievable for geodesics is studied in paper II.

General relativity describes the paths of light and free particles as geodesics in spacetime. This contribution shows how geodesics in spacetime can be constructed using spacetime sector models as tools. Radial geodesics close to a black hole are used by way of example. We outline two workshops the way that we teach them for undergraduate students. In the workshop on gravitational redshift (section 2), null geodesics are constructed and the phenomenon of gravitational redshift is inferred. The workshop on radial free fall (section 3) includes the construction of radial timelike geodesics and a comparison with the Newtonian descriptions of free fall and of tidal forces. Conclusions and outlook follow in section 4.

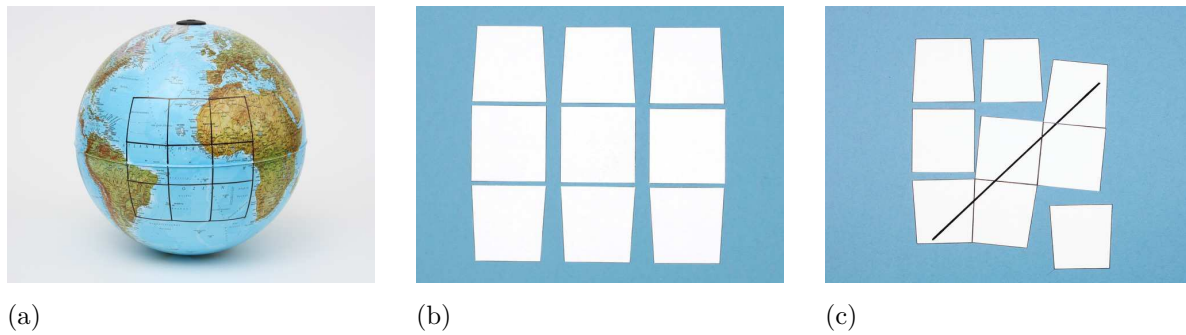


Figure 1. A sector model and the construction of a geodesic using a sphere by way of example. The curved surface is subdivided into small elements of area (a). Their edge lengths are determined and the sectors are constructed as flat pieces with the same edge lengths (b). A geodesic is constructed as a locally straight line using pencil and ruler (c).

2. Workshop on gravitational redshift

In this workshop, world lines of light are constructed as geodesics in spacetime. The construction shows how gravitational redshift arises. A black hole is used by way of example, because in its vicinity the effects are large and are clearly visible in the graphical representation. The construction of geodesics is restricted to radial paths; in the representation of the spacetime the other two spatial directions are suppressed so that the spacetime sector model is 1+1-dimensional.

The workshop presumes that the participants are familiar with the concept of a geodesic as a locally straight line and with sector models as representations of surfaces with curvature. A knowledge of special relativity is not required for this workshop. Minkowski diagrams do play a role and if necessary they are explained to the extent that they are needed in the workshop: Firstly they are introduced as path-time diagrams that differ from the familiar diagrams used in Newtonian mechanics by the fact that the vertical axis is the time axis. In order to familiarize the participants with this representation, we show a diagram with world lines that tell a little story and ask the participants to recount what happens (an example of such a diagram is available online, Kraus and Zahn 2018). Secondly, the units of the axes are addressed, being chosen to make motion at the speed of light run at 45° in the diagram. Finally the terms event, world line and light cone are introduced.

2.1. Redshift close to a black hole

The workshop begins with the explanation that general relativity describes the paths of light and free particles as geodesics in spacetime. Then a sector model is introduced that represents the spacetime of a radial ray in the exterior region of a black hole. The participants can calculate the sector model themselves (section 2.2) or can be provided with a worksheet (available online, Kraus and Zahn 2018). In a thought experiment

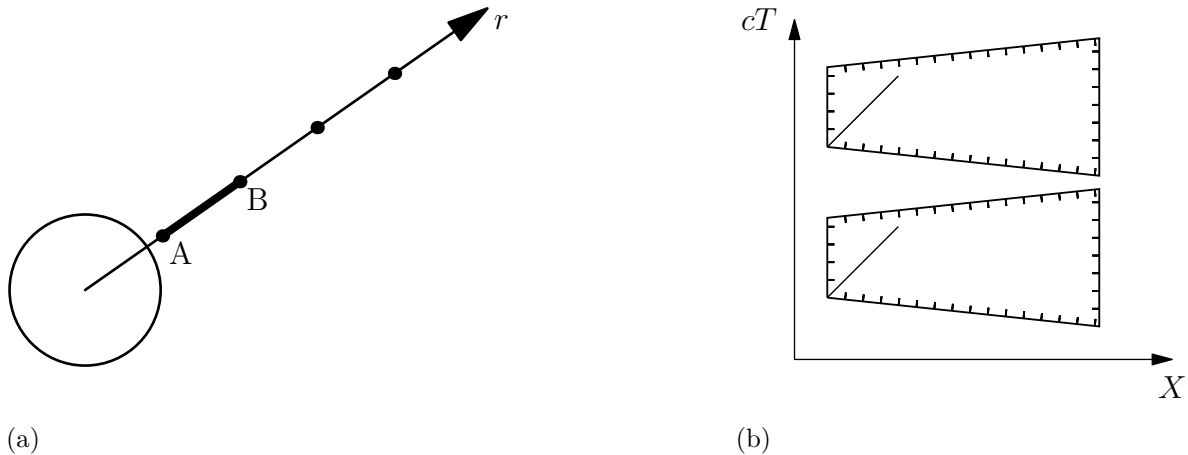


Figure 2. Sector model for the spacetime of a radial ray in the exterior region of a black hole. (a) Radial ray. (b) Spacetime sector model for the segment marked in (a). The edge on the left represents events at point A, the edge on the right events at point B. The diagonal lines mark the light cone. The model can be extended in time by adding identical sectors.

the sector model is created from measurements taken close to a black hole: Astronauts travel to a black hole and take up positions along a radial ray. They choose a number of events at these positions and use them as vertices for subdividing the spacetime of the radial ray into quadrilaterals. In order to define an individual quadrilateral, two positions are chosen on the radial ray (figure 2(a)). Two events at the inner position and two at the outer position make up the four vertices. Each quadrilateral is represented by a sector of a Minkowski space (figure 2(b)); the ensemble of sectors makes up the sector model.‡ Since the black hole spacetime is static (we consider a non-rotating black hole), it is possible to choose a subdivision of the spacetime for which the shape of the sectors is independent of time (see section 2.2). This is here implemented, so that the sector model can be arbitrarily extended in time by adding identical sectors.

The first construction on the sector model is the world line of a light signal propagating radially outwards. Starting from the bottom left corner of the model, a locally straight line is drawn in the direction of the light cone (figure 3, bottom line). Within the sector, the line is straight. When the line reaches the border of the sector, the position of the border point is copied onto the respective border of the neighbouring sector and the line is continued from there. The borders are provided with equidistant tick marks to facilitate the transfer of the border points. The direction in the neighbouring sector is again prescribed by the light cone, since we are concerned with a world line of light.§

In the second step the transmission of two consecutive light signals is studied. An

‡ The sector model covers the region from 1.25 to 2.5 Schwarzschild radii in the Schwarzschild radial coordinate, see section 2.2.

§ Alternatively, one may join the neighbouring sector and then continue the line straight across the border as described in figure 1. How to join spacetime sectors is described in section 3.1.

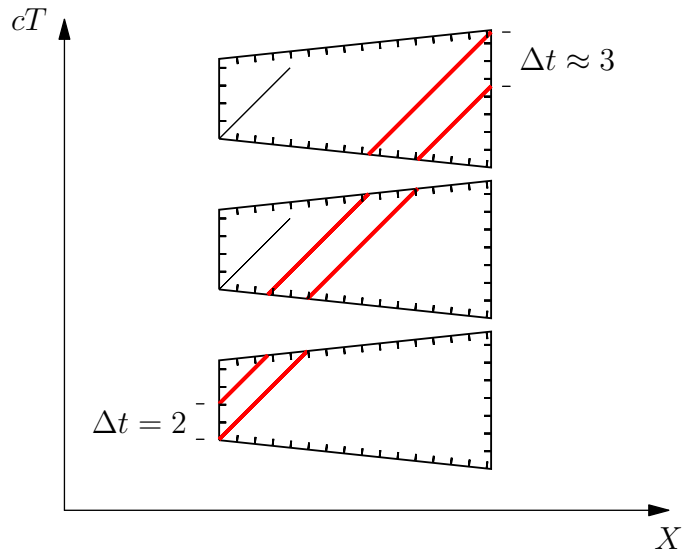


Figure 3. World lines of two light signals propagating radially outwards. An observer at the inner rim of the sectors (left) sends the signals at an interval of two time units. An observer at the outer rim (right) receives them about three time units apart.

observer positioned close to the black hole and at a constant distance (point A at the inner rim of the sectors, see figure 2), sends two light signals outwards, one a short time after the other. In figure 3 the time interval is two time units. A second observer positioned farther away from the black hole and also at a constant distance (point B at the outer rim of the sectors), receives the two signals. In order to find the time interval of the light signals upon reception, the world line of the other signal is added to the diagram (figure 3, top line). The interval of the signals can then be read off and amounts to a little over three time units. If one interprets the two signals as consecutive wave crests of an electromagnetic wave, one concludes from the diagram that the wave is received with an increased period by the outer observer. Thus, radiation receding from a black hole is redshifted. The ratio of the periods P_{outer} and P_{inner} at points B and A, respectively, read off from the construction on the sector model, is $P_{\text{outer}}/P_{\text{inner}} \approx 1.5$. The calculated exact value is $P_{\text{outer}}/P_{\text{inner}} = \sqrt{(1 - r_{\text{S}}/r_{\text{outer}})/(1 - r_{\text{S}}/r_{\text{inner}})} = 1.73$, where $r_{\text{inner}} = 1.25 r_{\text{S}}$ and $r_{\text{outer}} = 2.5 r_{\text{S}}$ are the radial coordinates of points A and B, respectively. The graphically determined value is too small by 13%; this deviation is due to the relatively coarse resolution of the sector model.

2.2. Calculation of the spacetime sector model

A simplified calculation of sector models is introduced in paper II (section 2.4) for curved surfaces and is here extended to the 1+1-dimensional case. This calculation presumes knowledge of the Minkowski metric. Using the simplified method students can calculate sector models on their own using elementary mathematics only. This enables them to use sector models as tools for studying other curved spacetimes when given their metric.

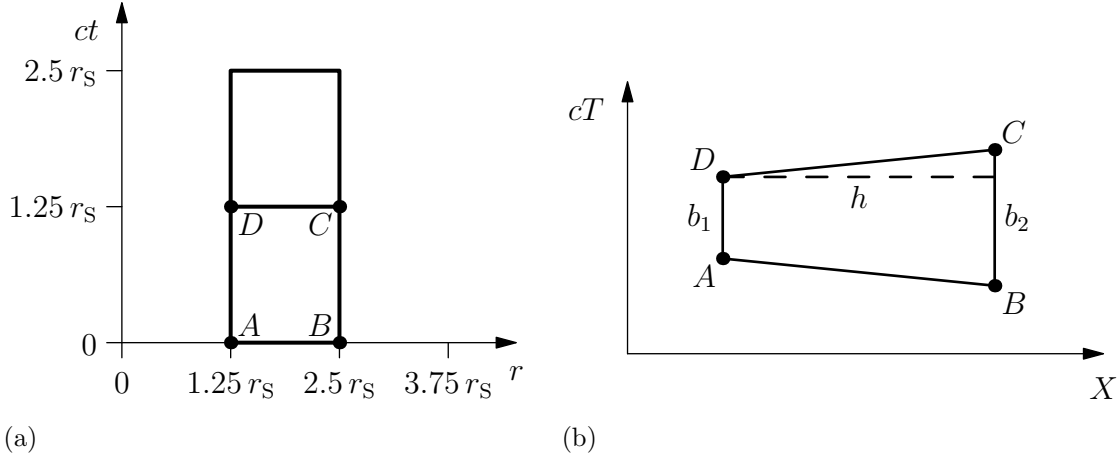


Figure 4. Calculation of the spacetime sector model of a radial ray. (a) The subdivision of the spacetime in coordinate space. (b) Each sector is constructed in the shape of a symmetric trapezium.

The approximations of the simplified method are discussed in paper II.

The starting point of the construction is the metric

$$ds^2 = - \left(1 - \frac{r_S}{r}\right) c^2 dt^2 + \frac{1}{1 - r_S/r} dr^2 \quad (1)$$

with the usual Schwarzschild coordinates t and r and the Schwarzschild radius $r_S = 2GM/c^2$ of the central mass M , where G is the gravitational constant and c the speed of light.

In space the sector model represents a segment of a radial ray from $r = 1.25 r_S$ to $r = 2.5 r_S$ with coordinate length $\Delta r = 1.25 r_S$. The time coordinate t is subdivided into segments of length Δt with $c\Delta t = 1.25 r_S$ (figure 4(a)). Since the metric is independent of the time coordinate, only a single segment in time needs to be calculated.

The calculation of the edge intervals yields

$$\Delta s_t^2(r) = - \left(1 - \frac{r_S}{r}\right) c^2 \Delta t^2 \quad (\Delta r = 0) \quad (2)$$

for the timelike edges and

$$\Delta s_r^2 = \frac{1}{(1 - r_S/r_m)} \Delta r^2 \quad (\Delta t = 0) \quad (3)$$

for the spacelike edges, where the metric coefficient is evaluated at the mean coordinate $r_m = (r_1 + r_2)/2$ with the coordinates r_1 and r_2 of the associated vertices. Since the sector model is a column of identical sectors, each sector is constructed with the corresponding time symmetry: As shown in figure 4(b), the bases of a trapezium are drawn in direction of the time axis with the lengths $b_1 = \sqrt{-\Delta s_t^2(r = 1.25 r_S)}$ and $b_2 = \sqrt{-\Delta s_t^2(r = 2.5 r_S)}$. The height h of the trapezium is determined from the condition that the lateral sides have the interval Δs_r^2 (figure 4(b)):

$$\Delta s_r^2 = - \left(\frac{b_2 - b_1}{2}\right)^2 + h^2. \quad (4)$$

The result is the sector shown in figure 2.

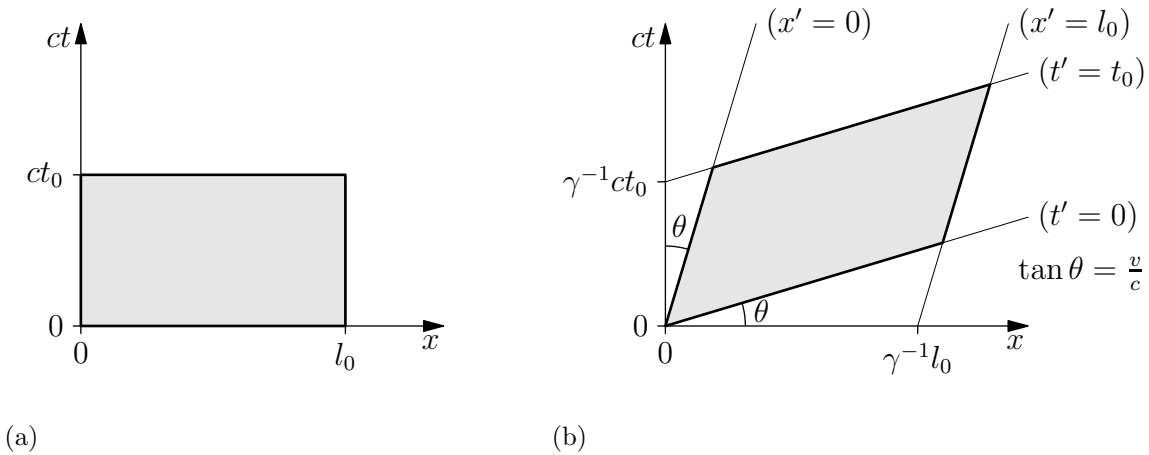


Figure 5. Graphic representation of a spacetime sector in two different reference frames. The events are located inside a spaceship of length l_0 at spaceship proper times between zero and t_0 . (a) Representation in the rest frame of the spaceship. (b) Representation in the rest frame of a space station that the spaceship passes with velocity $v = 0.3c$ ($\gamma = 1/\sqrt{1-v^2/c^2}$).

3. Workshop on particle paths

In this workshop world lines are constructed for freely falling particles close to a black hole. As in the previous section the study is restricted to radial paths, so that it is possible to use a 1+1-dimensional spacetime sector model. By means of the particle paths, the connection between the relativistic and the classical descriptions of motion in a gravitational field is pointed out. The workshop presumes that the participants are familiar with the Lorentz transformation.

3.1. The construction of timelike geodesics

To study the paths of freely falling particles in the vicinity of a black hole, their world lines are constructed on a sector model. As in the previous examples, the geodesics are drawn as straight lines within each sector and after reaching the boundary are continued in the neighbouring sector. Other than for the null geodesics discussed in section 2, the direction in the neighbouring sector is not predetermined by the light cone. Therefore, it is necessary to join the neighbouring sector and to continue the line straight across the boundary. The joining of two sectors is more complex in spacetime than in the purely spatial case. Clearly, rotating the neighbouring sector into a suitable position is not an option: Since the speed of light has the same value in both sectors, their light cones must coincide. This fixes the orientation of the neighbouring sector.

In the workshop we use a specific example for a spacetime sector in order to introduce the way that neighbouring sectors can be joined. We consider a long and very thin spaceship of rest length l_0 . We define a spacetime sector that is made up of

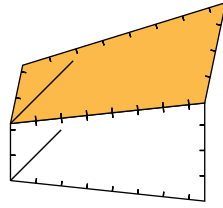


Figure 6. Joining two spacetime sectors of the sector model shown in figure 2. The upper sector has been Lorentz-transformed in such a way that it can be joined to the lower sector ($v/c = 0.21$).

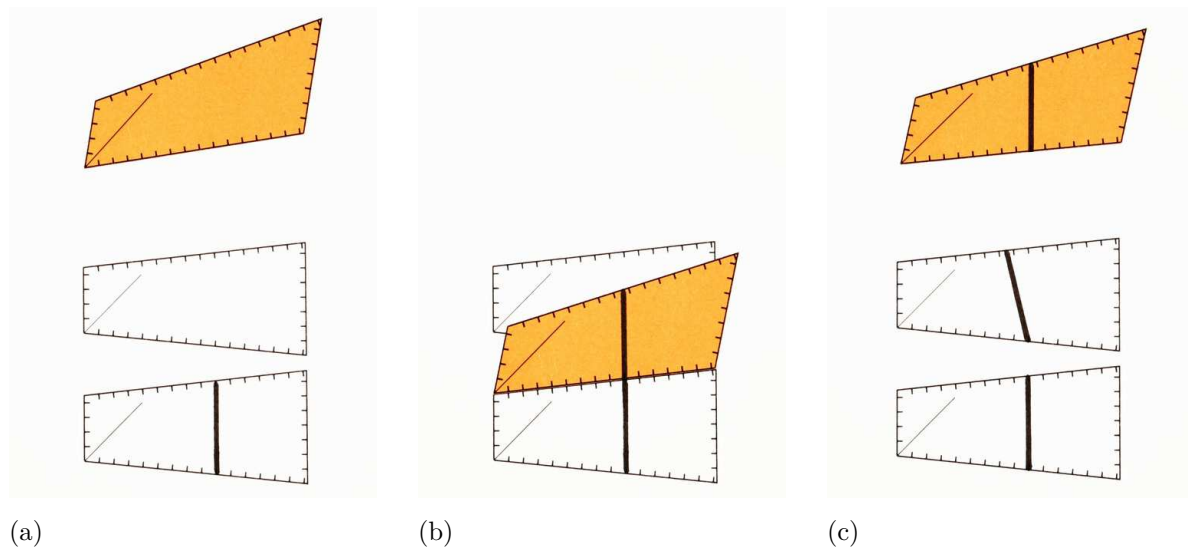


Figure 7. Construction of a geodesic on the spacetime sector model. (a) A sector that has undergone Lorentz transformation serves as transfer sector (in colour). (b) The geodesic is continued straight onto the transfer sector. (c) The line is copied from the transfer sector onto the neighbouring sector in the original symmetric shape.

all events that are inside the spaceship and at spaceship proper times between zero and t_0 . The participants draw this spacetime sector in a Minkowski diagram, first in the rest frame of the spaceship (figure 5(a)), then in the rest frame of a space station that the spaceship passes at constant relative velocity (figure 5(b)). The geometric shape of the sector, i.e., the geometric shape drawn on paper and understood in the euclidean sense, clearly depends on the frame of reference. Figures 5(a) and (b) are two different representations of one and the same spacetime sector. One turns into the other under a Lorentz transformation.

This permits the joining of sectors: The neighbouring sector is brought into the appropriate form by Lorentz transformation (figure 6). Thus, the transformation that permits the joining of the neighbouring sector is a rotation in the spatial case and a Lorentz transformation in the spacetime case.

When drawing geodesics, it is convenient to use a transformed sector in the role of

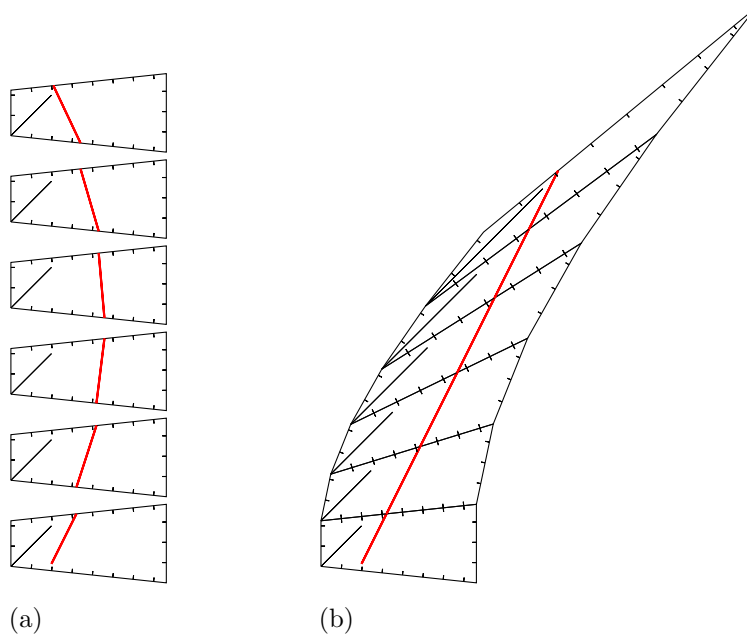


Figure 8. Vertical free fall. (a) A geodesic constructed on the sector model. (b) When all sectors are joined, the world line can clearly be seen to be straight.

transfer sector (paper II, section 2.3): When a geodesic reaches the border of a sector (figure 7(a)), it is continued as a straight line across the border onto the transfer sector joined to the respective edge (figure 7(b)) and is then transferred onto the neighbouring sector in its original shape (figure 7(c)). This transfer amounts to reversing the Lorentz transformation. In doing so, straight lines are mapped onto straight lines. Therefore, using the tick marks at the borders, the end points of the line are transferred onto the target sector and are then connected by a straight line (figure 7(c)).

3.2. Vertical free fall

Close to a black hole, a particle is thrown upwards. Its path is to be determined. Intuitively, it is clear that the particle reaches a maximum height and then falls back down (provided its initial velocity is less than the escape velocity).

In the relativistic description, the particle, being in free fall, follows a geodesic, i.e., its world line is locally straight. How can these two statements—straight world line on the one hand and up-and-down motion on the other hand—be compatible?

For the construction of the world line, the sector model shown in figure 2 is used with six rows plus an appropriately transformed transfer sector (figure 6). After choosing an initial position and a timelike outward direction, the world line is constructed as a geodesic on the sector model (figure 8(a)): The locally straight line at first leads away from the black hole and then comes closer again. The spacetime geodesic thus provides the expected up-and-down motion in space. In addition, figure 8(b) shows the sector model with all the sectors joined, so that the straightness of the line is obvious. In order

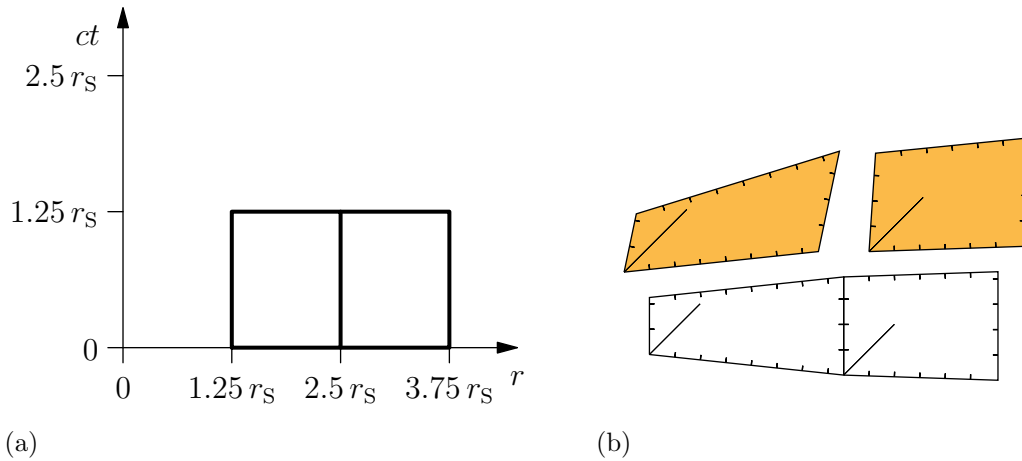


Figure 9. Spacetime sector model for a radial ray in the exterior region of a black hole. (a) Subdivision of the spacetime in coordinate space. (b) Sectors in symmetric form (bottom) and suitably Lorentz-transformed transfer sectors (top). This is an extension of the model shown in figure 2 by a second column with the associated transfer sector (right hand side, $v/c = 0.067$). The model can be extended in time by adding identical rows.

to draw the geodesic at a stretch as in this figure, one needs several representations of the sector that are obtained by Lorentz transformations with different velocities. The construction on the sector model displays both the straight line in spacetime and the up-and-down motion in space, and so makes the connection between them quite clear.

3.3. Tidal forces and the curvature of spacetime

When the present workshop on particle paths is combined with the workshop on curvature described in paper I, it is possible to illustrate the physical significance of spacetime curvature with the help of geodesics. For this purpose a second column is added to the sector model shown in figure 2, so that the model now covers the radial ray between $1.25 r_S$ and $3.75 r_S$ in two columns (figure 9). The model is used with eight rows plus a transfer sector for each column.

In a local inertial frame momentarily at rest with respect to the black hole, we consider two particles that are slightly displaced in the radial direction. They are released from rest simultaneously, so that they fall one after another radially into the black hole. In the classical description the gravitational force decreases outwards. Therefore, at each instant the outer particle experiences a smaller acceleration than the inner one, so that the two freely falling particles are accelerated relative to each other: As a result of tidal forces, the relative velocity of the particles increases.

In the general relativistic description, the world lines of the two particles are geodesics that are initially parallel. These geodesics are constructed on the sector model (figure 10). Both world lines start in the direction of the local time axis (figure 10, bottom row). The two initially parallel world lines diverge more and more indicating a relative velocity that increases.

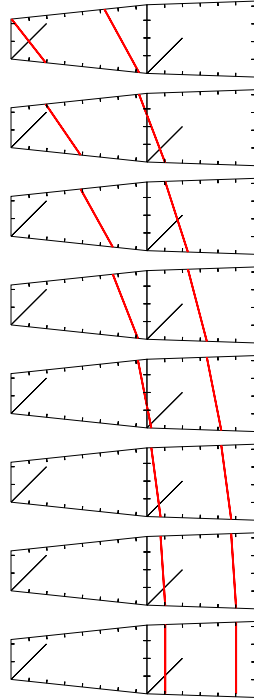


Figure 10. The world lines of two particles that are simultaneously released from rest and fall one after another towards a black hole.

The construction elucidates the origin of the divergence: The world lines are parallel up to the point where they pass a vertex on different sides (figure 10, row 4 to row 5 from the bottom). Each additional vertex between the world lines increases the difference in direction, i.e., increases the relative velocity.

Figure 11 shows the run of a pair of geodesics close to a single vertex in more detail. For clarity, sectors with double coordinate length in time are used ($c\Delta t = 2.5 r_S$). In figures 11(a) and (b) the sectors are joined along the geodesic on the left and on the right, respectively (the upper row being suitably Lorentz-transformed as a whole in each case); in figure 11(c) the sectors are arranged symmetrically.

As described in paper I, in a sector model the so-called deficit angles of the vertices represent curvature. The deficit angle of the vertex considered here is apparent in figures 11(a) and (b) as the gap that remains when the four adjacent sectors are joined around the vertex. This deficit angle is in a spacelike direction and is positive^{||}; with the metric signature used here, by convention, this means positive spacetime curvature. By construction, the angle between the two lines behind the vertex depends on the deficit angle. Thus, figures 10 and 11 show that positive spacetime curvature is linked with the divergence of initially parallel world lines; the opposite holds in the case of negative curvature. Spacetime curvature is less intuitive than spatial curvature. However, the

^{||} The deficit angle is positive if a wedge-shaped gap remains after joining all adjacent sectors. It is negative if, after joining all the sectors except one, the remaining space is too small to accommodate the last sector.

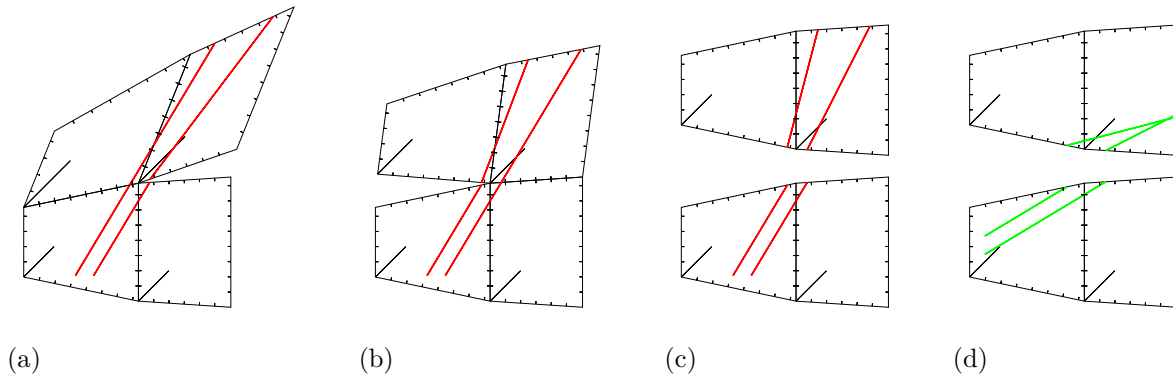


Figure 11. Initially parallel geodesics that pass a vertex on opposite sides subsequently are no longer parallel. In (a) the sectors are joined along the geodesic on the left and in (b) along the geodesic on the right; in (c) they are arranged symmetrically. (d) Spacelike geodesics show the opposite behaviour. (Sector model as in figure 9, but with double coordinate length in time, $c\Delta t = 2.5 r_S$.)

run of neighbouring geodesics provides a criterion that can be understood geometrically. Thus the construction shows how the relative acceleration of the two particles comes about in the relativistic description. It can be traced back to the deficit angles at the vertices, i.e. to curvature. This elucidates the physical meaning of spacetime curvature: It corresponds to the Newtonian tidal force.

In addition, figure 11(d) shows the behaviour of initially parallel spacelike geodesics near the same vertex: After the vertex they converge. The opposing behaviour of timelike and spacelike geodesics reflects the corresponding properties of the deficit angles in timelike and spacelike directions, respectively (paper I, section 4).

3.4. The construction of geodesics using transfer double sectors

When geodesics are constructed as described above, in some cases the line segment within a sector is very short because it passes close to a vertex (e.g., in figure 10, 4th row from the bottom, left line). In this case the further construction is quite imprecise because the subsequent direction is determined from this short segment. The problem can be solved by using not a single transfer sector but a double one (figure 12). This is built by joining a sector of the neighbouring column, after appropriate Lorentz transformation, to a transfer sector. The line on the double sector is then longer and the construction is more precise. In the workshops we first introduce the single transfer sectors of figure 9. When the procedure is clear, we switch to the double sectors of figure 12.

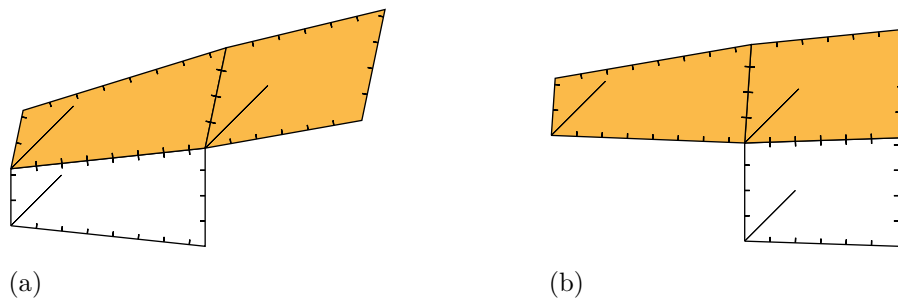


Figure 12. Transfer double sectors. (a) For the left column of the sector model of figure 9, (b) for the right column.

4. Conclusions and outlook

4.1. Summary and pedagogical comments

In this contribution we have shown how paths of light and free particles can be constructed on spacetime sector models. The construction of null geodesics directly leads to the phenomenon of gravitational redshift (section 2.1). The construction of timelike geodesics shows that describing the motion of a particle in free fall as a geodesic in spacetime, provides the expected up-and-down motion in space (section 3.2). By studying timelike geodesics of neighbouring particles, the connection between spacetime curvature and Newtonian tidal forces is revealed (section 3.3).

In connection with the use of spacetime sector models one can discuss the equivalence principle that is expressed here in a clear way. It states that in sufficiently small regions of a curved spacetime Minkowski geometry applies and that locally all physical phenomena are described by the special theory of relativity. In a sector model each sector constitutes such a small region. The curved spacetime is explicitly made up of local regions with Minkowski geometry. In the sector model one can advance through curved spacetime by passing from one Minkowski sector to the next. The local validity of special relativity is directly implemented on sector models, when the world lines of light and free particles are drawn as straight line segments within a sector.

The sector model used here represents a 1+1-dimensional subspace of the Schwarzschild spacetime. It allows the construction of radial world lines. Non-radial world lines can in principle be determined in a 2+1-dimensional sector model, but an implementation with models made from paper or cardboard does not appear practicable. An implementation using three-dimensional interactive computer visualization is being studied.

The workshops on redshift and particle paths presented here were developed and tested at Hildesheim University in the context of an introduction to general relativity for pre-service physics teachers (Zahn and Kraus 2013, Kraus et al 2018). This introductory course uses the model-based approach described here including the calculation of the relevant sector models from their metrics. The calculation of sector models is introduced step by step starting with the sphere via the equatorial plane

of a black hole (paper II, section 2.4) to the spacetime of a radial ray (section 2.2). The course uses the material described in papers I to III plus material from part four currently in preparation. In the homework problems and the tutorials, the students calculate sector models for other metrics on their own and use them to study curvature and geodesics. Thus, in the model-based course students are taught the necessary skills for studying (to a certain extent) the physical phenomena associated with a given metric. Answers are here obtained graphically that in a standard university course would be found by calculations. An example of a problem that can be solved with the methods of the model-based course is the following: ‘The metric of a radial ray in an expanding spacetime is given as $ds^2 = -c^2 dt^2 + (t/T_0)^2 dx^2$, where T_0 is a constant. Two observers, each at a constant coordinate x , exchange light signals. Will they observe a redshift?’ Details on the pre-service teacher course and its evaluation are presented by Kraus et al (2018).

Other possible uses, e.g. in an astronomy club at school, exist, in particular, for the workshop on redshift because it does not require the participants to have knowledge of special relativity. Also, all of the material can be used as a supplement to a mathematically oriented university course and help to strengthen geometric insight.

4.2. Comparison with other graphic approaches

Sector models provide a graphic representation of spacetime geodesics. Other graphic representations of geodesics in spacetime have been described using embedding surfaces (Marolf 1999, Jonsson 2001, 2005). Just as the sector models presented here, these representations are limited to 1+1-dimensional spacetimes. A related representation of geodesics is the construction on so-called wedge maps developed by diSessa (1981). This construction is derived from the Regge calculus and is carried out numerically. The calculation is also described for 2+1-dimensional spacetimes; light deflection and redshift are discussed.

In comparison to embedding surfaces and also to wedge maps, the calculation and use of sector models is more elementary. For a spacetime model, only a basic knowledge of special relativity is necessary; the determination of geodesics is carried out graphically and the only mathematical concept that goes beyond elementary mathematics as taught at school is the concept of the metric. Sector models can easily be constructed and since they are readily duplicated, all participants of a course can carry out the construction of geodesics themselves on their own models.

4.3. Outlook

In the model-based approach described here, sector models are the basis for answers to the three fundamental questions raised in paper I concerning the nature of a curved spacetime, the laws of motion, and the relation between the distribution of matter and the curvature of spacetime. In paper I curved spaces and spacetimes are represented as sector models. In paper II and the present contribution geodesics are studied as paths of

light and free particles. Part four of this series will be on the relation between curvature and the distribution of matter.

References

- diSessa A 1981 An elementary formalism for general relativity *Am. J. Phys.* **49** (5) 401–11
- Jonsson R M 2001 Embedding spacetime via a geodesically equivalent metric of euclidean signature *Gen. Rel. Grav.* **33** (7) 1207–35
- Jonsson R M 2005 Visualizing curved spacetime *Am. J. Phys.* **73** (3) 248–60
- Kraus U, Zahn C, Reiber T and Preiß S 2018 A model-based general relativity course for physics teachers, submitted
- Kraus U and Zahn C 2018 Online resources for this contribution
www.spacetime.travel/sectormodels3
- Marolf D 1999 Spacetime embedding diagrams for black holes *Gen. Rel. Grav.* **31** (6) 919–44
- Regge T 1961 General relativity without coordinates *Il Nuovo Cimento* **19** 558–71
- Williams R M and Ellis G F R 1981 Regge Calculus and Observations. I. Formalism and Applications to Radial Motion and Circular Orbits *Gen. Rel. Grav.* **13** (4) 361–95
- Zahn C and Kraus U 2013 Bewegung im Gravitationsfeld in der Allgemeinen Relativitätstheorie – ein neuer Zugang auf Schulniveau *PhyDid B* DD 17.13
- Zahn C and Kraus U 2014 Sector models—A toolkit for teaching general relativity: I. Curved spaces and spacetimes *Eur. J. Phys.* **35** (5) 055020
Online version with supplementary material: www.spacetime.travel/sectormodels1 (paper I)
- Zahn C and Kraus U 2018 Sector models—A toolkit for teaching general relativity: II. Geodesics, submitted
Online version with supplementary material: www.spacetime.travel/sectormodels2 (paper II)

Sektormodelle – Ein Werkzeugkasten zur Vermittlung der Allgemeinen Relativitätstheorie: III. Geodäten in der Raumzeit

U Kraus und C Zahn

Institut für Physik, Universität Hildesheim, Universitätsplatz 1, 31141 Hildesheim

E-mail: ute.kraus@uni-hildesheim.de, corvin.zahn@uni-hildesheim.de

Zusammenfassung.

Sektormodelle ermöglichen einen modellbasierten Zugang zur Allgemeinen Relativitätstheorie, der auf das Verständnis der geometrischen Konzepte abzielt und in seinen mathematischen Anforderungen nicht über Schulmathematik hinausgeht. Dieser Beitrag zeigt, wie die Bahnen von Licht und freien Teilchen auf einem raumzeitlichen Sektormodell konstruiert werden können. Als Beispiel dienen radiale Bahnen in der Nähe eines Schwarzen Lochs. Wir beschreiben zwei Workshops zu den Themen gravitative Rotverschiebung sowie radialer freier Fall, die wir in dieser Form mit Bachelorstudierenden durchführen. Der Workshop zur Rotverschiebung setzt keine Kenntnisse der Speziellen Relativitätstheorie voraus; in dem Workshop zum freien Fall wird die Lorentztransformation als bekannt vorausgesetzt. Der Beitrag beschreibt auch eine vereinfachte Berechnung des verwendeten raumzeitlichen Sektormodells, die von Teilnehmer/innen selbstständig durchgeführt werden kann, falls sie mit der Minkowskimetrik vertraut sind. Die vorgestellten Materialien stehen online unter www.tempolimit-lichtgeschwindigkeit.de für den Unterricht zur Verfügung.

1. Einleitung

Im Hinblick auf das Ziel, die Grundlagen der Allgemeinen Relativitätstheorie zu vermitteln und dabei in den mathematischen Anforderungen nicht über Schulmathematik hinauszugehen, entwickeln wir einen Zugang, der auf speziellen Anschauungsmodellen, sogenannten Sektormodellen, basiert. Dahinter steht der Grundgedanke, dass die Allgemeine Relativitätstheorie eine geometrische Theorie ist, die deshalb der geometrischen Anschauung zugänglich ist. Im ersten Teil dieser Folge von Beiträgen haben wir Sektormodelle als Anschauungsmodelle von gekrümmten Räumen und Raumzeiten entwickelt (Zahn und Kraus 2014, im Folgenden als Teil I bezeichnet). Sektormodelle setzen die Darstellung gekrümmter Raumzeiten im Regge-Kalkül (Regge 1961) in Form von gegenständlichen Modellen um. Sektormodelle können zweidimensional sein (z.B. eine Symmetrieebene eines kugelsymmetrischen Sterns), dreidimensional (z.B. der gekrümmte dreidimensionale Raum um ein Schwarzes Loch) oder 1+1-dimensional (d.h. eine Raumzeit, in der zwei räumliche Dimensionen unterdrückt werden, ähnlich den Minkowskidiagrammen der Speziellen Relativitätstheorie). Das Prinzip zeigt Abb. 1 am Beispiel der Kugeloberfläche: Die gekrümmte Fläche wird in kleine Bereiche zerlegt, in diesem Beispiel in Vierecke (Abb. 1(a)). Für alle Vierecke werden die Kantenlängen bestimmt. In der Ebene werden Vierecke mit denselben Kantenlängen konstruiert (Abb. 1(b)). Dies sind die Sektoren, die das Sektormodell bilden. Das Sektormodell stellt die gekrümmte Fläche näherungsweise dar. Die Güte der Annäherung ist durch die Feinheit der Unterteilung bestimmt. Für didaktische Zwecke ist eine relativ grobe Unterteilung sinnvoll. An Sektormodellen kann man die Geometrie der dargestellten Räume und Raumzeiten mit grafischen Methoden untersuchen. Dazu gehört die Konstruktion von Geodäten, die im zweiten Teil dieser Folge (Zahn und Kraus 2018, im Folgenden als Teil II bezeichnet) beschrieben wird. Die Konstruktion ist eine zeichnerische Umsetzung der Bestimmung von Geodäten im Regge-Kalkül (Williams und Ellis 1981). Das prinzipielle Vorgehen zeigt Abb. 1(c). Ausgehend von der Definition einer Geodäte als einer lokal geraden Linie wird die Geodäte mit dem Lineal konstruiert: Innerhalb eines Sektors, der ja ein ebenes Flächenstück ist, ist eine Geodäte eine gerade Linie. Wenn die Geodäte den Rand des Sektors erreicht, wird der Nachbarsektor angelegt und die Linie wird über die Kante hinweg geradlinig fortgesetzt. Sektormodelle werden maßstabsgetreu berechnet, so dass die geometrischen Eigenschaften, die man an ihnen abliest, im Rahmen des Diskretisierungsfehlers auch quantitativ korrekt sind. Für Geodäten erzielbare Genauigkeiten werden in Teil II untersucht.

Die Bahnen von Licht und freien Teilchen werden in der Allgemeinen Relativitätstheorie als Geodäten in der Raumzeit beschrieben. Dieser Beitrag zeigt, wie man mithilfe von Sektormodellen Geodäten in der Raumzeit zeichnerisch bestimmen kann. Als Beispiel dienen radiale Geodäten in der Nähe eines Schwarzen Lochs. Wir stellen zwei Workshops vor, die wir in dieser Form mit Bachelorstudierenden durchführen. Im Workshop zur gravitativen Rotverschiebung (Abschnitt 2) werden

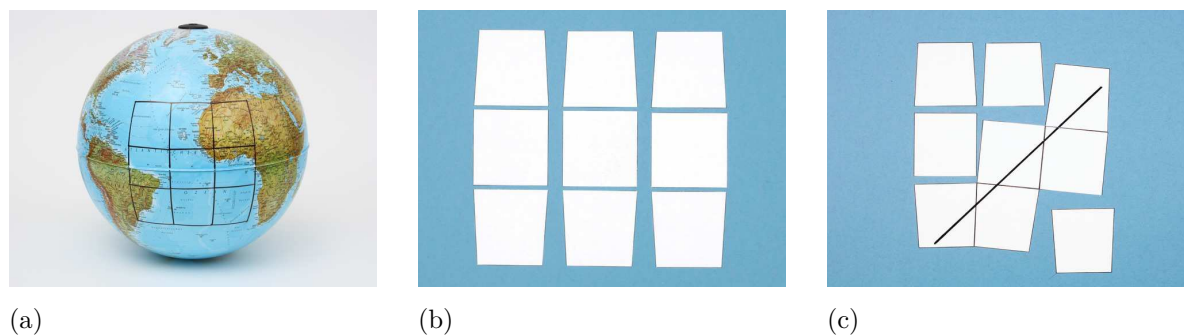


Abbildung 1. Sektormodell und Konstruktion von Geodäten am Beispiel der Kugeloberfläche. Die gekrümmte Fläche wird in kleine Bereiche zerlegt (a), deren Kantenlängen bestimmt werden. Die Sektoren werden als ebene Flächenstücke mit denselben Kantenlängen konstruiert (b). Eine Geodäte wird als lokal gerade Linie mit dem Lineal gezeichnet (c).

Nullgeodäten konstruiert, an denen die Rotverschiebung verdeutlicht wird. Der Workshop zum radialen freien Fall (Abschnitt 3) beinhaltet die Konstruktion von radialen zeitartigen Geodäten und den Vergleich mit der Newtonschen Beschreibung des freien Falls sowie der Gezeitenkräfte. Fazit und Ausblick folgen in Abschnitt 4.

2. Workshop Rotverschiebung

In diesem Workshop werden Weltlinien von Licht als Geodäten in der Raumzeit konstruiert. Daran wird das Zustandekommen der gravitativen Rotverschiebung verdeutlicht. Als Beispiel dient die Raumzeit eines Schwarzen Lochs, weil die Effekte dort groß und grafisch gut darstellbar sind. Es werden nur radiale Bahnen betrachtet; bei der Darstellung der Raumzeit werden die anderen Raumrichtungen unterdrückt, so dass das raumzeitliche Sektormodell 1+1-dimensional ist.

Der Workshop setzt voraus, dass den Teilnehmer/innen der Begriff der Geodäte als einer lokal geraden Linie sowie Sektormodelle zur Darstellung von Flächen mit Krümmung bekannt sind. Vorkenntnisse in Spezieller Relativitätstheorie sind für diesen Workshop nicht erforderlich. Minkowskidiagramme spielen eine Rolle und bei Bedarf werden sie zu Beginn des Workshops im benötigten Umfang erläutert: Es wird erstens erklärt, dass es sich um Raum-Zeit-Diagramme handelt, die sich von den aus der Mechanik bekannten Diagrammen dadurch unterscheiden, dass die senkrechte Achse die Zeitachse ist. Um die Teilnehmer/innen mit dieser Darstellung vertraut zu machen, zeigen wir ein Diagramm mit Weltlinien und lassen die darin dargestellte Geschichte erzählen (ein Beispiel steht online zur Verfügung, Kraus und Zahn 2018). Zweitens wird auf die Skalierung der Achsen eingegangen, die so gewählt wird, dass Bewegungen mit Lichtgeschwindigkeit im Diagramm unter 45° verlaufen. Schließlich werden die Begriffe Ereignis, Weltlinie und Lichtkegel eingeführt.

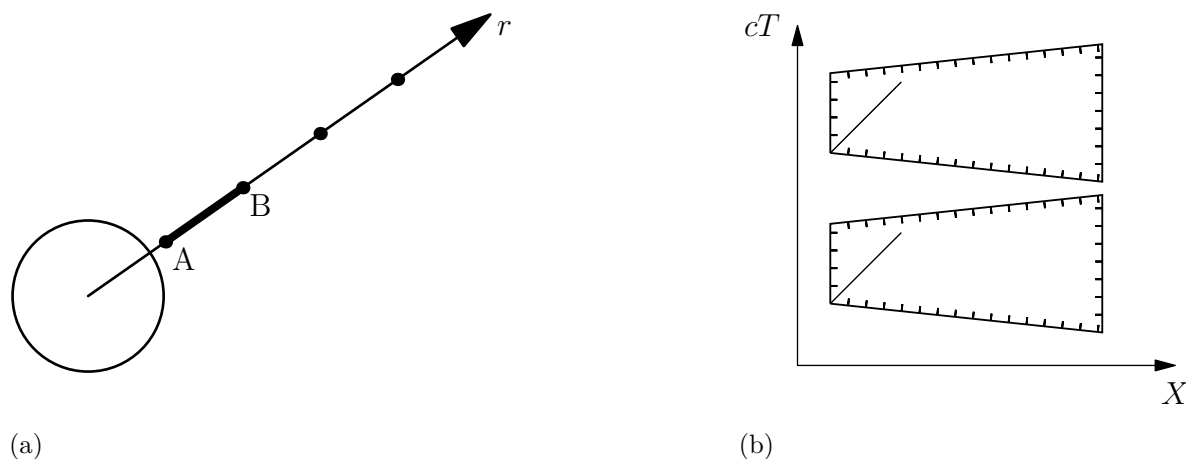


Abbildung 2. Sektormodell für die Raumzeit eines radialen Strahls im Außenraum eines Schwarzen Lochs. (a) Radialer Strahl. (b) Raumzeitliches Sektormodell für den in (a) kenntlich gemachten Abschnitt. Die linke Kante stellt Ereignisse an Punkt A dar, die rechte Kante an Punkt B. Die diagonalen Linien markieren die Lichtkegel. Das Modell kann in Zeitrichtung durch identische Sektoren beliebig erweitert werden.

2.1. Rotverschiebung in der Nähe eines Schwarzen Lochs

Der Workshop beginnt mit der Erläuterung, dass die Allgemeine Relativitätstheorie die Bahnen von Licht und freien Teilchen als Geodäten in der Raumzeit beschreibt. Es wird dann ein Sektormodell vorgestellt, das die Raumzeit eines radialen Strahls im Außenraum eines Schwarzen Lochs darstellt. Die Teilnehmer/innen können das Sektormodell selbst berechnen (Abschnitt 2.2) oder eine Vorlage verwenden (online verfügbar, Kraus und Zahn 2018). Im Gedankenexperiment entsteht das Sektormodell aus Messungen in der Nähe eines Schwarzen Lochs: Astronauten reisen zu dem Schwarzen Loch und positionieren sich dort längs eines radialen Strahls. Sie wählen eine Reihe von Ereignissen aus und nutzen sie als Eckpunkte um die Raumzeit des radialen Strahls in Vierecke einzuteilen. Zur Definition eines einzelnen Vierecks werden zwei Positionen auf dem radialen Strahl ausgewählt (Abb. 2(a)). Zwei Ereignisse an der inneren sowie zwei an der äußeren Position bilden die vier Eckpunkte. Der viereckige Ausschnitt der gekrümmten Raumzeit wird durch einen Sektor eines Minkowskiraums dargestellt (Abb. 2(b)); die Gesamtheit der Sektoren bildet das Sektormodell.‡ Da die Raumzeit des Schwarzen Lochs statisch ist (wir betrachten ein nichtrotierendes Schwarzes Loch), kann man eine Darstellung wählen, in der die Form der Sektoren von der Zeit unabhängig ist (s. Abschnitt 2.2). Dies wurde hier umgesetzt, so dass das Sektormodell in Zeitrichtung durch weitere identische Sektoren beliebig erweitert werden kann.

Auf dem Sektormodell wird als erstes die Weltlinie eines Lichtsignals konstruiert, das radial nach außen läuft. Ausgehend von dem Startpunkt in der linken unteren Ecke

‡ Das Sektormodell überdeckt den Bereich von 1,25 bis 2,5 Schwarzschildradien in der Schwarzschildschen Radialkoordinate, s. Abschnitt 2.2.

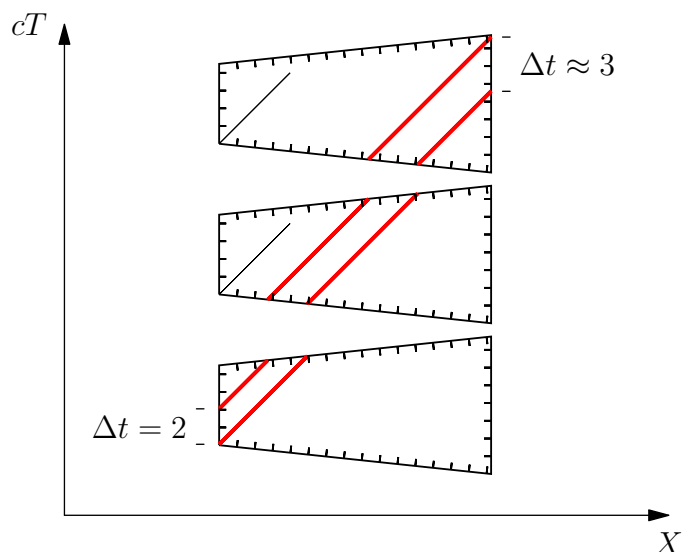


Abbildung 3. Weltlinien zweier Lichtsignale, die radial nach außen laufen. Ein Beobachter am Innenrand der Sektorspalte (links) sendet die Signale im Abstand von zwei Zeiteinheiten aus. Ein Beobachter am Außenrand (rechts) empfängt sie im Abstand von ca. drei Zeiteinheiten.

des Modells wird eine lokal gerade Linie gezeichnet, die in Richtung des Lichtkegels verläuft (Abb. 3, untere Linie). Innerhalb eines Sektors ist die Linie gerade. Erreicht man beim Zeichnen den Rand, so wird die Linie im Nachbarsektor fortgesetzt: Die Position am Rand wird auf den entsprechenden Rand des Nachbarsektors übertragen; zur Unterstützung tragen die Kanten äquidistante Markierungen. Die Richtung im Nachbarsektor ist, da es sich um eine Weltlinie von Licht handelt, durch den Lichtkegel vorgegeben.§

Im zweiten Schritt wird die Übermittlung von zwei aufeinanderfolgenden Lichtsignalen untersucht. Ein Beobachter, der sich nahe am Schwarzen Loch in einer festen Entfernung (Punkt A am Innenrand der Sektorspalte) befindet, sendet zwei Lichtsignale in kurzem zeitlichem Abstand nach außen. In Abb. 3 beträgt dieser Abstand zwei Zeiteinheiten. Ein zweiter Beobachter, der sich weiter außen ebenfalls in fester Entfernung zum Schwarzen Loch befindet (Punkt B am Außenrand der Sektorspalte), empfängt die beiden Signale. Um festzustellen, in welchem zeitlichen Abstand der äußere Beobachter die Signale erhält, wird die Weltlinie des zweiten Signals hinzugefügt (Abb. 3, obere Linie). Man erkennt, dass der zeitliche Abstand am Außenrand der Spalte rund drei Zeiteinheiten beträgt. Wenn man die beiden Signale als aufeinanderfolgende Wellenberge einer elektromagnetischen Welle deutet, dann folgt aus der Konstruktion, dass die Welle außen mit einer vergrößerten Periode empfangen wird. Strahlung, die sich vom Schwarzen Loch entfernt, wird also rotverschoben. Das Verhältnis der Perioden $P_{\text{außen}}$ und P_{innen} am äußeren Punkt B bzw. am inneren Punkt A ergibt sich aus der

§ Alternativ kann man den Nachbarsektor anlegen und die Geodäte geradlinig fortsetzen, wie in Abb. 1 beschrieben. Das Vorgehen beim Anlegen von raumzeitlichen Sektoren wird in Abschnitt 3.1 erläutert.

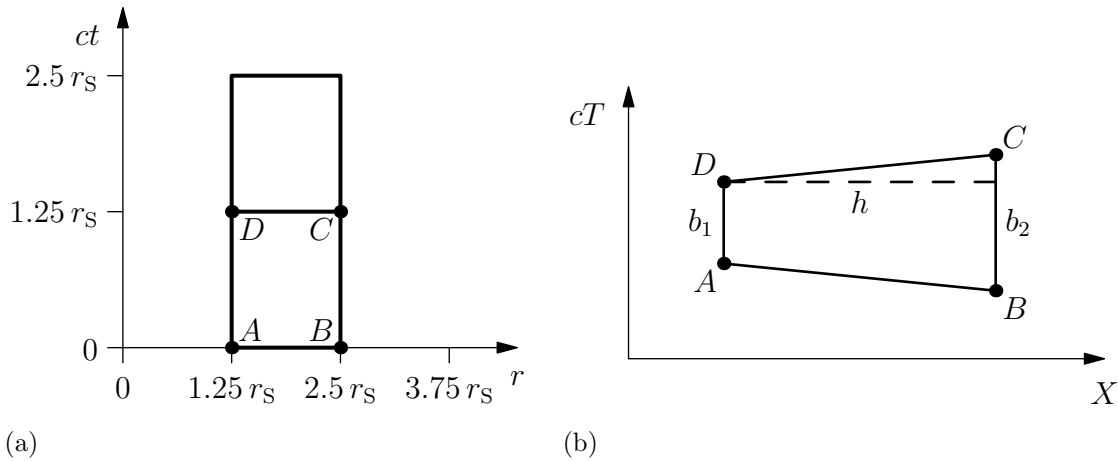


Abbildung 4. Zur Berechnung des raumzeitlichen Sektormodells eines radialen Strahls. (a) Die Aufteilung der Raumzeit im Koordinatenraum. (b) Jeder Sektor wird als symmetrisches Trapez konstruiert.

Konstruktion zu $P_{\text{außen}}/P_{\text{innen}} \approx 1,5$. Der berechnete exakte Wert ist $P_{\text{außen}}/P_{\text{innen}} = \sqrt{(1 - r_S/r_{\text{außen}})/(1 - r_S/r_{\text{innen}})} = 1,73$ wobei $r_{\text{innen}} = 1,25 r_S$ und $r_{\text{außen}} = 2,5 r_S$ die Radialkoordinaten der Punkte A und B sind. Der grafisch bestimmte Wert ist 13% zu klein; diese Abweichung ist der relativ groben Auflösung des Sektormodells geschuldet.

2.2. Berechnung des raumzeitlichen Sektormodells

Eine vereinfachte Berechnung von Sektormodellen wird in Teil II (Abschnitt 2.4) eingeführt und hier auf eine 1+1-dimensionale gekrümmte Raumzeit übertragen. Diese Berechnung setzt die Kenntnis der Minkowskimetrik voraus. Mit dem vereinfachten Verfahren kann das Sektormodell von den Teilnehmer/innen des Workshops mit Mitteln der Schulmathematik selbst berechnet werden. Dies versetzt sie in die Lage, auch andere gekrümmte Raumzeiten ausgehend von deren Metrik mit Hilfe von Sektormodellen zu untersuchen. Die mit dem vereinfachten Verfahren verbundenen Näherungen werden in Teil II diskutiert.

Die Konstruktion geht von der Metrik

$$ds^2 = - \left(1 - \frac{r_S}{r}\right) c^2 dt^2 + \frac{1}{1 - r_S/r} dr^2 \quad (1)$$

aus, wobei t und r die üblichen Schwarzschildkoordinaten sind und $r_S = 2GM/c^2$ der Schwarzschildradius der Zentralmasse M mit der Newtonschen Gravitationskonstanten G und der Lichtgeschwindigkeit c .

Das Sektormodell stellt räumlich einen Abschnitt eines radialen Strahls zwischen $r = 1,25 r_S$ und $r = 2,5 r_S$ dar, der die Koordinatenlänge $\Delta r = 1,25 r_S$ hat. Die Zeitkoordinate t wird in Abschnitte der Länge Δt mit $c\Delta t = 1,25 r_S$ eingeteilt (Abb. 4(a)). Da die Metrik von der Zeitkoordinate nicht abhängt, braucht nur ein einziger zeitlicher Abschnitt berechnet zu werden.

Die Berechnung der Kantenintervalle ergibt für die zeitartigen Kanten

$$\Delta s_t^2(r) = -\left(1 - \frac{r_S}{r}\right) c^2 \Delta t^2 \quad (\Delta r = 0) \quad (2)$$

und für die raumartigen Kanten

$$\Delta s_r^2 = \frac{1}{(1 - r_S/r_m)} \Delta r^2 \quad (\Delta t = 0), \quad (3)$$

wobei der Metrikkoeffizient für die mittlere Koordinate $r_m = (r_1 + r_2)/2$ berechnet wird, mit den Koordinaten r_1 und r_2 der zugehörigen Eckpunkte. Da in Zeitrichtung identische Sektoren aneinandergereiht werden, wird jeder Sektor zeitsymmetrisch als Trapez konstruiert: Gemäß Abb. 4(b) werden die Grundseiten in Zeitrichtung gelegt; sie haben die Längen $b_1 = \sqrt{-\Delta s_t^2(r = 1,25 r_S)}$ und $b_2 = \sqrt{-\Delta s_t^2(r = 2,5 r_S)}$. Die Höhe h des Trapezes wird so bestimmt, dass die Schenkel das Intervall Δs_r^2 haben (Abb. 4(b)):

$$\Delta s_r^2 = -\left(\frac{b_2 - b_1}{2}\right)^2 + h^2. \quad (4)$$

Das Ergebnis ist der in Abb. 2 gezeigte Sektor.

3. Workshop Teilchenbahnen

In diesem Workshop werden Weltlinien von frei fallenden Teilchen in der Nähe eines Schwarzen Lochs konstruiert. Wie im vorangegangenen Abschnitt werden nur radiale Bahnen betrachtet, so dass ein 1+1-dimensionales raumzeitliches Sektormodell verwendet werden kann. Anhand der Teilchenbahnen wird der Zusammenhang zwischen der relativistischen und der klassischen Beschreibung von Bewegung im Schwerefeld verdeutlicht. Der Workshop setzt voraus, dass die Teilnehmer/innen mit der Lorentztransformation vertraut sind.

3.1. Die Konstruktion zeitartiger Geodäten

Um die Bahnen frei fallender Teilchen in der Nähe eines Schwarzen Lochs zu untersuchen, werden ihre Weltlinien als Geodäten auf einem Sektormodell konstruiert. Wie in den bisherigen Beispielen werden die Geodäten innerhalb eines Sektors als gerade Linien gezeichnet und beim Erreichen einer Kante in den Nachbarsektor fortgesetzt. Anders als bei den in Abschnitt 2 betrachteten Nullgeodäten ist die Richtung im Nachbarsektor aber nicht durch den Lichtkegel vorgegeben. Man muss also den Nachbarsektor anlegen und die Linie über die gemeinsame Kante hinweg geradlinig fortsetzen. Das Anlegen ist im raumzeitlichen Fall komplizierter als im rein räumlichen. Man sieht leicht ein, dass es nicht damit getan wäre, den Nachbarsektor auszuschneiden und in Position zu drehen: Da die Lichtgeschwindigkeit im Nachbarsektor denselben Wert hat wie im Startsektor, müssen die Lichtkegel der beiden Sektoren zusammenfallen. Dies legt die Orientierung des Nachbarsektors fest.

Im Workshop verwenden wir ein konkretes Beispiel für einen Raumzeitsektor um zu verdeutlichen, auf welche Weise das Anlegen möglich ist. Wir betrachten

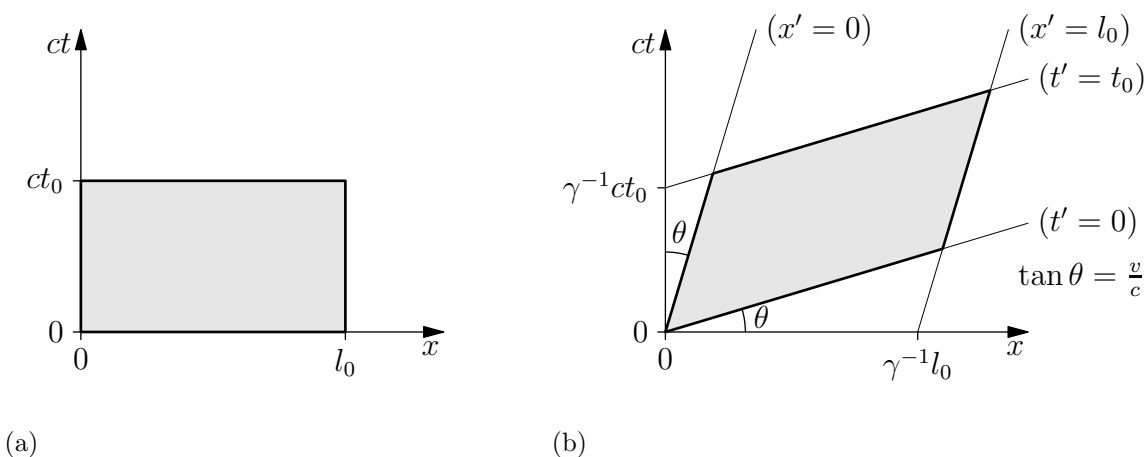


Abbildung 5. Grafische Darstellung eines Raumzeitsektors in zwei verschiedenen Bezugssystemen. Die Ereignisse liegen in einem Raumschiff der Länge l_0 bei Bordzeiten zwischen null und t_0 . (a) Darstellung im Ruhesystem des Raumschiffs. (b) Darstellung im Ruhesystem einer Raumstation, an der sich das Raumschiff mit Geschwindigkeit $v = 0,3 c$ vorbeibewegt ($\gamma = 1/\sqrt{1 - v^2/c^2}$).

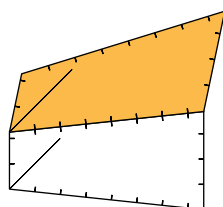


Abbildung 6. Anlegen eines raumzeitlichen Sektors im Sektormodell von Abb. 2. Der obere Sektor wurde so transformiert, dass er an den unteren Sektor angelegt werden kann ($v/c = 0,21$).

ein langes, sehr dünnes Raumschiff mit Ruhelänge l_0 . Der Raumzeitsektor soll aus denjenigen Ereignissen bestehen, die innerhalb des Raumschiffs liegen und Bordzeiten zwischen null und t_0 haben. Die Teilnehmer/innen zeichnen diesen Raumzeitsektor in ein Minkowskidiagramm ein, zunächst im Bezugssystem des Raumschiffs (Abb. 5(a)), anschließend im Bezugssystem einer Raumstation, an der sich das Raumschiff mit konstanter Relativgeschwindigkeit vorbeibewegt (Abb. 5(b)). Die gezeichnete Form des Sektors, d. h. seine im euklidischen Sinne verstandene geometrische Form, hängt offensichtlich vom Bezugssystem ab. Abb. 5(a) und (b) sind zwei verschiedene grafische Darstellungen ein und desselben Raumzeitsektors. Sie gehen durch eine Lorentztransformation auseinander hervor.

Dies ermöglicht das Anlegen von Sektoren, da man den Nachbarsektor durch eine Lorentztransformation mit der geeigneten Geschwindigkeit in die passende Form bringen kann (Abb. 6). Die Transformation, die das Anlegen des Nachbarsektors

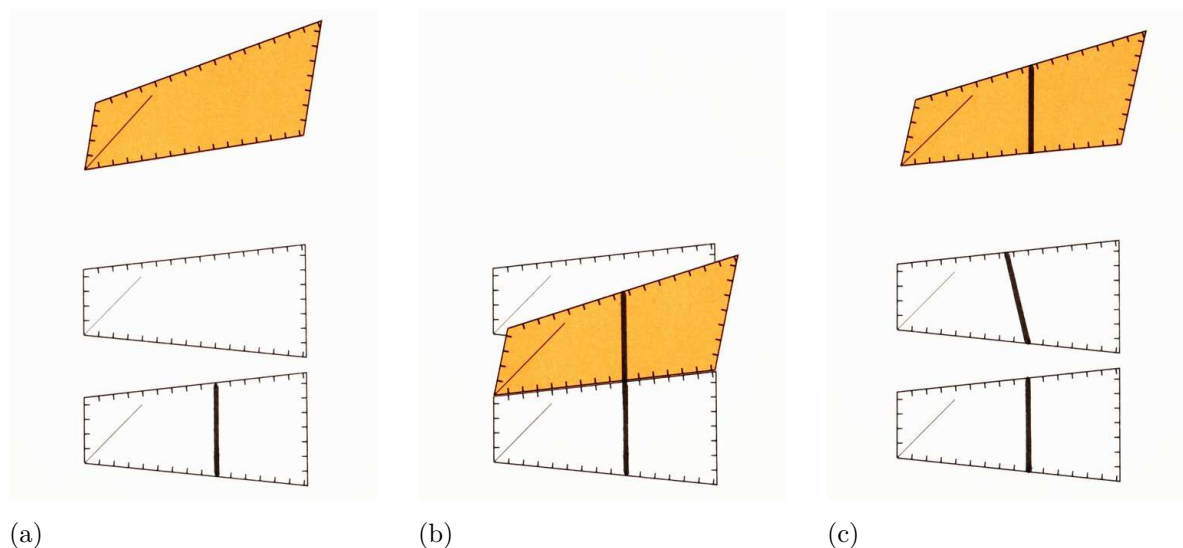


Abbildung 7. Konstruktion einer Geodäte auf dem raumzeitlichen Sektormodell. (a) Ein lorentztransformierter Sektor dient als Transfersektor (farbig markiert). (b) Die Geodäte wird geradlinig auf den Transfersektor fortgesetzt. (c) Die Linie wird vom Transfersektor auf den Nachbarsektor in der ursprünglichen, symmetrischen Form übertragen.

ermöglicht, ist also im räumlichen Fall eine Rotation, im raumzeitlichen Fall eine Lorentztransformation.

Beim Zeichnen von Geodäten ist es zweckmäßig, einen transformierten Sektor als Transfersektor (Teil II, Abschnitt 2.3) zu benutzen: Eine Geodäte, die den Rand eines Sektors erreicht (Abb. 7(a)), wird über die Kante geradlinig auf den angelegten Transfersektor fortgesetzt (Abb. 7(b)) und anschließend auf den Nachbarsektor in der symmetrischen Form übertragen (Abb. 7(c)). Dieser Übertrag macht die Lorentztransformation rückgängig. Gerade Linien werden dabei wieder in gerade Linien transformiert. Man überträgt anhand der Randmarkierungen die Endpunkte der Linie und verbindet sie geradlinig (Abb. 7(c)).

3.2. Senkrechter Wurf

Ein Teilchen wird in der Nähe eines Schwarzen Lochs senkrecht nach oben geworfen. Gesucht ist seine Bahn. Anschaulich ist klar, dass das Teilchen eine maximale Höhe erreicht und anschließend zurückfällt (eine Startgeschwindigkeit kleiner als die Fluchtgeschwindigkeit vorausgesetzt).

In der relativistischen Beschreibung folgt das Teilchen, da es sich im freien Fall befindet, einer Geodäten, d. h. seine Weltlinie ist lokal gerade. Wie sind diese beiden Aussagen – geradlinige Weltlinie einerseits und Auf-/Abbewegung andererseits – miteinander vereinbar?

Zur Konstruktion der Weltlinie wird das Sektormodell aus Abb. 2 mit sechs Zeilen verwendet sowie ein passend transformierter Transfersektor (Abb. 6). Nach der Vorgabe

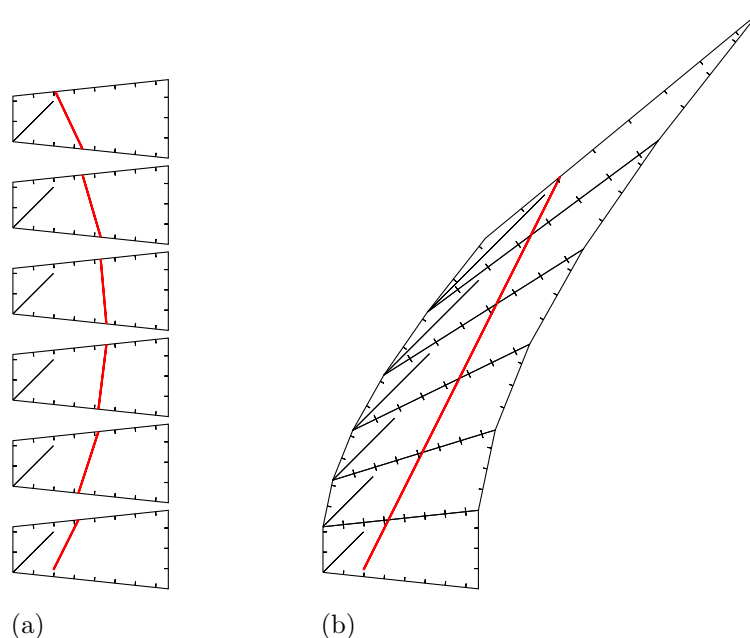


Abbildung 8. Senkrechter Wurf. (a) Auf dem Sektormodell konstruierte Geodäte. (b) Werden alle Sektoren aneinandergesetzt, so ist der geradlinige Verlauf der Weltlinie offensichtlich.

eines Startorts und einer zeitartigen, nach außen weisenden Startrichtung wird die Weltlinie als Geodäte auf das Sektormodell gezeichnet (Abb. 8(a)): Die als lokal gerade Linie konstruierte Geodäte erreicht zunächst größere Abstände vom Schwarzen Loch und dann wieder kleinere. Die raumzeitliche Geodäte liefert also die erwartete Auf- und Abbewegung im Raum. Ergänzend sind in Abb. 8(b) alle Sektoren aneinander angefügt, so dass der geradlinige Verlauf der Linie offensichtlich ist. Um die Geodäte wie in dieser Abbildung am Stück zu zeichnen, benötigt man etliche, mit verschiedenen Geschwindigkeiten lorentztransformierte Darstellungen des Sektors. Die Konstruktion auf dem Sektormodell zeigt sowohl die gerade Linie in der Raumzeit als auch die Auf-/Abbewegung im Raum und macht so den Zusammenhang zwischen beiden völlig transparent.

3.3. Gezeitenkräfte und die Krümmung der Raumzeit

Wenn man zusätzlich zu diesem Workshop auch den in Teil I beschriebenen Workshop über Krümmung durchführt, kann man anhand von Geodäten die physikalische Bedeutung der raumzeitlichen Krümmung verdeutlichen. Hierfür wird das Sektormodell aus Abb. 2 um eine zweite Spalte erweitert (Abb. 9), so dass es den radialen Strahl im Bereich $1,25 r_S$ bis $3,75 r_S$ in zwei Spalten überdeckt. Es werden acht Zeilen des Modells und ein Transversesektor je Spalte benutzt.

In einem lokalen Inertialsystem, das sich relativ zum Schwarzen Loch momentan in Ruhe befindet, werden zwei in radialer Richtung leicht versetzte Teilchen betrachtet. Sie werden gleichzeitig und aus der Ruhe losgelassen, so dass sie hintereinander radial in

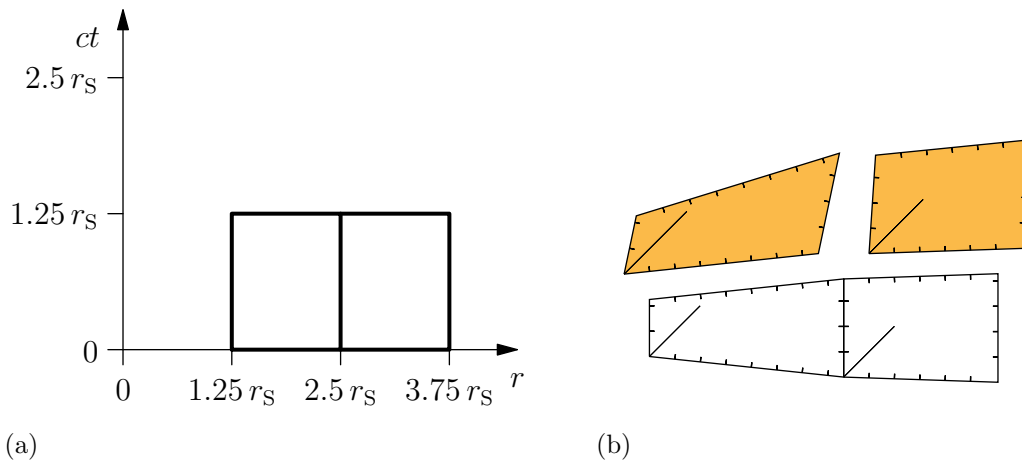


Abbildung 9. Raumzeitliches Sektormodell eines radialen Strahls im Außenraum eines Schwarzen Lochs. (a) Aufteilung der Raumzeit im Koordinatenraum. (b) Sektoren in symmetrischer Form (unten) und geeignet lorentztransformierte Transfersektoren (oben). Dies ist eine Erweiterung des in Abb. 2 gezeigten Modells um eine zweite Spalte mit zugehörigem Transfersektor (rechts, $v/c = 0,067$). Das Modell kann in Zeitrichtung durch identische Zeilen erweitert werden.

das Schwarze Loch fallen. In der klassischen Beschreibung nimmt die Schwerkraft nach außen ab, so dass das äußere Teilchen zu jedem Zeitpunkt eine geringere Beschleunigung erfährt als das innere. Die beiden frei fallenden Teilchen sind deshalb relativ zueinander beschleunigt: Gezeitenkräfte bewirken, dass die Relativgeschwindigkeit der Teilchen anwächst.

In der Beschreibung der Allgemeinen Relativitätstheorie sind die Weltlinien der beiden Teilchen Geodäten, die anfangs parallel verlaufen. Diese Geodäten werden auf dem Sektormodell konstruiert (Abb. 10). Beide Weltlinien starten in Richtung der lokalen Zeitachse (Abb. 10, unterste Zeile). Die anfänglich parallelen Weltlinien laufen zunehmend auseinander, d. h. es tritt eine Relativgeschwindigkeit auf, die anwächst. Die Konstruktion verdeutlicht, wie die Relativbeschleunigung zustandekommt: Die Weltlinien sind solange parallel, bis sie das erste Mal an einem Vertex auf verschiedenen Seiten vorbeilaufen (Abb. 10, 4./5. Zeile von unten). An jedem weiteren Vertex, der zwischen den Weltlinien liegt, vergrößert sich der Unterschied in den Richtungen und damit die Relativgeschwindigkeit.

Abb. 11 zeigt den Verlauf um einen einzelnen Vertex genauer. Hier werden der Deutlichkeit halber Sektoren verwendet, die in Zeitrichtung die doppelte Koordinatenlänge haben ($c\Delta t = 2,5 r_S$). Die Sektoren sind in den Abbildungen 11(a) und (b) längs der linken bzw. längs der rechten Geodäte aneinandergelagt (wobei die obere Zeile als Ganzes jeweils passend lorentztransformiert ist); in Abb. 11(c) sind die Sektoren symmetrisch angeordnet.

Wie in Teil I beschrieben, geben in einem Sektormodell die sogenannten Defizitwinkel der Vertizes die Krümmung an. Der Defizitwinkel des hier betrachteten Vertex erscheint in den Abbildungen 11(a) und (b), in denen die vier Sektoren um

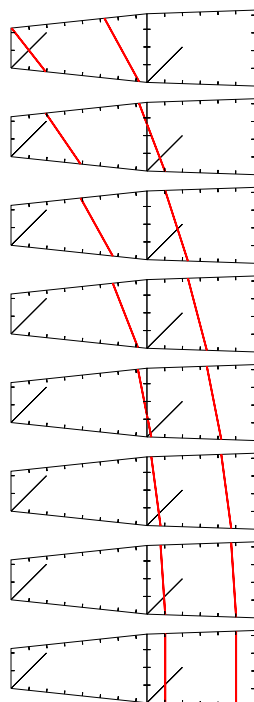


Abbildung 10. Die Weltlinien zweier Teilchen, die gleichzeitig aus der Ruhe losgelassen werden und hintereinander auf ein Schwarzes Loch zu fallen.

den gemeinsamen Vertex bestmöglich zusammengelegt sind, als verbleibende Lücke. Dieser Defizitwinkel liegt in raumartiger Richtung und ist positiv^{||}; mit der hier verwendeten Signatur ist nach Konvention die raumzeitliche Krümmung positiv. Nach Konstruktion hängt der Winkel, den die Richtungen der anfangs parallelen Geodäten nach dem Vertex einschließen, mit dem Defizitwinkel zusammen. Die Abbildungen 10 und 11 zeigen also, dass eine positive raumzeitliche Krümmung mit dem Auseinanderlaufen von anfangs parallelen benachbarten Weltlinien verbunden ist; das Umgekehrte gilt für den Fall negativer Krümmung. Die raumzeitliche Krümmung ist der Anschauung weniger gut zugänglich als die räumliche. Der Verlauf benachbarter Weltlinien liefert aber ein anschauliches Kriterium. Die Konstruktion zeigt damit auf, wie die Relativbeschleunigung der beiden Teilchen in der relativistischen Beschreibung zustandekommt. Sie lässt sich auf die Defizitwinkel an den Vertizes und damit auf die Krümmung zurückführen. Hieran wird die physikalische Bedeutung der raumzeitlichen Krümmung deutlich: Sie entspricht der Newtonschen Gezeitenkraft.

Ergänzend zeigt Abb. 11(d) das Verhalten anfänglich paralleler raumartiger Geodäten an demselben Vertex: Sie laufen nach dem Vertex aufeinander zu. Das gegenläufige Verhalten von zeitartigen und raumartigen Geodäten spiegelt das

^{||} Der Defizitwinkel ist positiv, wenn nach Zusammenschieben aller an einen Eckpunkt angrenzenden Sektoren eine keilförmige Lücke verbleibt. Er ist negativ, wenn nach Zusammenschieben aller an einen Eckpunkt angrenzenden Sektoren bis auf einen die verbleibende Lücke zu klein ist für den letzten Sektor.

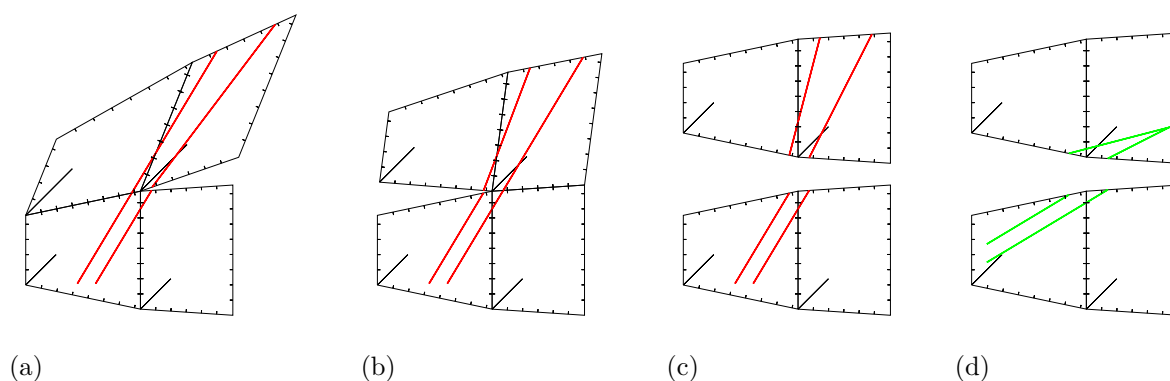


Abbildung 11. Anfänglich parallele Geodäten, die an einem Vertex auf verschiedenen Seiten vorbeilaufen, sind anschließend nicht länger parallel. Die Sektoren sind in (a) längs der linken Geodäte und in (b) längs der rechten Geodäte aneinandergelagt; in (c) sind sie symmetrisch angeordnet. (d) Raumartige Geodäten zeigen ein gegenläufiges Verhalten. (Sektormodell wie in Abb. 9, aber mit der doppelten zeitlichen Koordinatenlänge, $c\Delta t = 2,5 r_S$.)

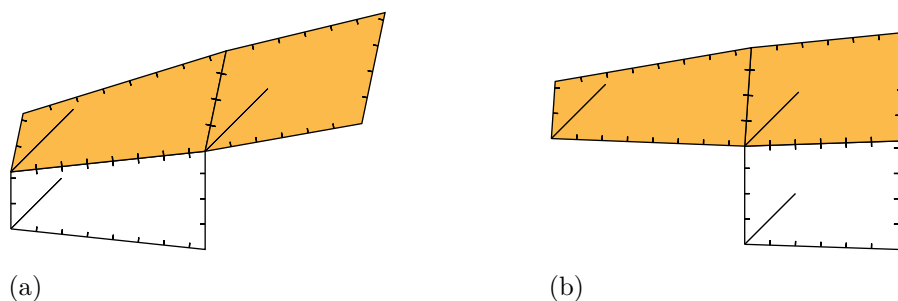


Abbildung 12. Doppelsektoren als Transfersektoren. (a) Für die linke Spalte des Sektormodells von Abb. 9, (b) für die rechte Spalte.

entsprechende Verhalten der Defizitwinkel in zeitartiger bzw. in raumartiger Richtung wider (s. Teil I, Abschnitt 4).

3.4. Konstruktion von Geodäten mit Transfer-Doppelsektoren

Bei der oben beschriebenen Konstruktion von Geodäten kommt es vor, dass die Linie in einem angelegten Sektor sehr kurz ist, weil sie nahe an einem Eckpunkt vorbeiläuft (beispielsweise in Abb. 10, 4. Zeile von unten, linke Linie). In diesem Fall wird die Konstruktion sehr ungenau, weil die weitere Richtung aus dieser kurzen Linie bestimmt wird. Das Problem lässt sich lösen, indem man statt eines einzelnen Transfersektors einen Doppelsektor benutzt (Abb. 12). Hierfür wird der Sektor der Nachbarspalte nach passender Lorentztransformation an den Transfersektor angefügt. Die Linie auf dem Doppelsektor ist dann länger, so dass die Konstruktion genauer wird. Im Workshop verwenden wir zur Einführung zunächst die Einzelsektoren aus Abb. 9. Wenn das Prinzip klar geworden ist, gehen wir zu den Doppelsektoren aus Abb. 12 über.

4. Fazit und Ausblick

4.1. Zusammenfassung und didaktische Anmerkungen

Wir haben in diesem Beitrag gezeigt, wie auf raumzeitlichen Sektormodellen die Bahnen von Licht und freien Teilchen konstruiert werden können. Die Konstruktion von Nullgeodäten führt auf direktem Weg zum Phänomen der Gravitationsrotverschiebung (Abschnitt 2.1). Die Konstruktion zeitartiger Geodäten verdeutlicht, dass die Beschreibung eines nach oben geworfenen Teilchens durch eine Geodäte in der Raumzeit die erwartete Auf-/Abbewegung im Raum ergibt (Abschnitt 3.2). Anhand zeitartiger Geodäten benachbarter Teilchen wird der Zusammenhang der raumzeitlichen Krümmung mit der Newtonschen Gezeitenkraft deutlich (Abschnitt 3.3).

Im Zusammenhang mit dem Einsatz raumzeitlicher Sektormodelle kann das Äquivalenzprinzip thematisiert werden, das hier deutlich zum Ausdruck kommt. Es besagt, dass in genügend kleinen Gebieten einer gekrümmten Raumzeit Minkowskigeometrie besteht und lokal alle physikalischen Phänomene durch die Spezielle Relativitätstheorie beschrieben werden. Im Sektormodell stellt jeder einzelne Sektor ein solches kleines Gebiet dar. Die gekrümmte Raumzeit wird explizit aus lokalen Bereichen mit Minkowskigeometrie zusammengesetzt. Im Sektormodell kann man sich von einem Minkowskisektor zum nächsten durch die gekrümmte Raumzeit hangeln. Dass lokal die Spezielle Relativitätstheorie gilt, wird auf dem Sektormodell in direkter Weise umgesetzt, wenn die Weltlinien von Licht und freien Teilchen innerhalb eines Sektors als Geraden gezeichnet werden.

Das Sektormodell in diesem Beitrag stellt einen 1+1-dimensionalen Unterraum der Schwarzschild-Raumzeit dar. Damit können Weltlinien in radialer Richtung konstruiert werden. Nichtradiale Weltlinien kann man im Prinzip in einem 2+1-dimensionalen Sektormodell bestimmen, die Durchführung mit einem Papier- oder Pappmodell erscheint jedoch nicht praktikabel. Eine Umsetzung als dreidimensionale interaktive Computervisualisierung wird derzeit untersucht.

Die in diesem Beitrag vorgestellten Workshops zu Rotverschiebung und Teilchenbahnen wurden im Rahmen einer Einführung in die Allgemeine Relativitätstheorie für Lehramtsstudierende an der Universität Hildesheim entwickelt und erprobt (Zahn und Kraus 2013, Kraus et al 2018). Dieser Einführungskurs nutzt den hier beschriebenen modellbasierten Zugang inklusive der Berechnung von Sektormodellen aus der Metrik. Die Berechnung wird ausgehend von der Kugeloberfläche über die Äquatorfläche des Schwarzen Lochs (Teil II, Abschnitt 2.4) bis hin zur Raumzeit eines radialen Strahls (Abschnitt 2.2) schrittweise eingeführt. Der Kurs nutzt das in den Teilen I bis III vorgestellte Material sowie weiteres Material aus dem in Vorbereitung befindlichen vierten Teil. In den Übungen zur Vorlesung erstellen die Studierenden u. a. Sektormodelle zu weiteren Metriken und untersuchen mit ihnen Krümmung und Geodäten. Der modellbasierte Kurs vermittelt also die Fähigkeit, in einem gewissen Rahmen anhand einer vorgegebenen Metrik physikalische Phänomene zu untersuchen. Es werden dabei Aufgaben zeichnerisch gelöst, die in einem Standardkurs rechnerisch bearbeitet würden. Ein

Beispiel für eine Aufgabe, die mit den Mitteln des modellbasierten Kurses gelöst werden kann: „Gegeben ist die Metrik eines radialen Strahls in einer expandierenden Raumzeit als $ds^2 = -c^2 dt^2 + (t/T_0)^2 dx^2$, wobei T_0 eine Konstante ist. Zwei Beobachter auf festen Ortskoordinaten senden einander Lichtsignale zu. Tritt eine Rotverschiebung auf?“. Über den Lehramtskurs und seine Evaluation berichten Kraus et al (2018).

Weitere Einsatzmöglichkeiten, beispielsweise in einer schulischen Arbeitsgemeinschaft Astronomie, gibt es insbesondere für den Workshop über Rotverschiebung, da er ohne Vorkenntnisse der Teilnehmer/innen in Spezieller Relativitätstheorie auskommt. Das gesamte Material kann auch als Ergänzung zu einer mathematisch ausgerichteten Vorlesung eingesetzt werden um das geometrische Verständnis zu fördern.

4.2. Vergleich mit anderen anschaulichen Zugängen

Sektormodelle ermöglichen eine bildliche Darstellung raumzeitlicher Geodäten. Andere bildliche Darstellungen von Geodäten in einer Raumzeit wurden auf Einbettungsflächen beschrieben (Marolf 1999, Jonsson 2001, 2005). Wie bei den hier vorgestellten Sektormodellen sind auch diese Darstellungen auf 1+1-dimensionale Raumzeiten beschränkt. Mit der Darstellung auf Sektormodellen verwandt ist die von diSessa entwickelte Konstruktion auf sogenannten Keilkarten (wedge maps, diSessa 1981). Diese Konstruktion ist vom Regge-Kalkül abgeleitet und wird numerisch durchgeführt. Die Rechnung wird auch für 2+1-dimensionale Raumzeiten beschrieben; Lichtablenkung und Rotverschiebung werden diskutiert.

Im Vergleich zu Einbettungsflächen und auch zu den Keilkarten ist die Berechnung und Nutzung von Sektormodellen elementarer. Selbst für ein raumzeitliches Modell werden nur Grundkenntnisse der Speziellen Relativitätstheorie benötigt; die Bestimmung von Geodäten erfolgt zeichnerisch, das einzige mathematische Konzept, das über Schulmathematik hinausgeht, ist der Begriff der Metrik. Sektormodelle lassen sich auf einfache Weise berechnen und da sie sich gut vervielfältigen lassen, können alle Teilnehmer/innen eines Kurses die Konstruktion von Geodäten auf eigenen Vorlagen selbst durchführen.

4.3. Ausblick

Die in Teil I aufgeworfenen drei Grundfragen nach dem Wesen einer gekrümmten Raumzeit, den Gesetzmäßigkeiten für die Bewegung von Materie und dem Zusammenhang zwischen der Materieverteilung und der Krümmung der Raumzeit sollen in dem hier vorgestellten modellbasierten Zugang anhand von Sektormodellen behandelt werden. In Teil I wurden gekrümmte Räume und Raumzeiten im Modell dargestellt, in Teil II und dem vorliegenden Beitrag Geodäten als Bahnen von Licht und freien Teilchen bestimmt. Ein Folgebeitrag wird als vierter Teil den Zusammenhang von Krümmung und Materieverteilung beschreiben.

Literatur

- diSessa A 1981 An elementary formalism for general relativity *Am. J. Phys.* **49** (5) 401–11
- Jonsson R M 2001 Embedding spacetime via a geodesically equivalent metric of euclidean signature *Gen. Rel. Grav.* **33** (7) 1207–35
- Jonsson R M 2005 Visualizing curved spacetime *Am. J. Phys.* **73** (3) 248–60
- Kraus U, Zahn C, Reiber T und Preiß S 2018 A model-based general relativity course for physics teachers, eingereicht
- Kraus U und Zahn C 2018 Online-Ressourcen zum Beitrag,
www.tempolimit-lichtgeschwindigkeit.de/sectormodels3
- Marolf D 1999 Spacetime embedding diagrams for black holes *Gen. Rel. Grav.* **31** (6) 919–44
- Regge T 1961 General relativity without coordinates *Il Nuovo Cimento* **19** 558–71
- Williams R M und Ellis G F R 1981 Regge Calculus and Observations. I. Formalism and Applications to Radial Motion and Circular Orbits *Gen. Rel. Grav.* **13** (4) 361–95
- Zahn C und Kraus U 2013 Bewegung im Gravitationsfeld in der Allgemeinen Relativitätstheorie – ein neuer Zugang auf Schulniveau *PhyDid B* DD 17.13
- Zahn C und Kraus U 2014 Sektormodelle – Ein Werkzeugkasten zur Vermittlung der Allgemeinen Relativitätstheorie. I: Gekrümmte Räume und Raumzeiten,
www.tempolimit-lichtgeschwindigkeit.de/sectormodels1,
Deutsche Übersetzung von:
Sector models—A toolkit for teaching general relativity: I. Curved spaces and spacetimes *Eur. J. Phys.* **35** (5) 055020
(Teil I)
- Zahn C und Kraus U 2018 Sektormodelle – Ein Werkzeugkasten zur Vermittlung der Allgemeinen Relativitätstheorie. II: Geodäten,
www.tempolimit-lichtgeschwindigkeit.de/sectormodels2,
Deutsche Übersetzung von:
Sector models—A toolkit for teaching general relativity: II. Geodesics, eingereicht
(Teil II)